

用微卫星分析细鳞鲑(*Brachymystax lenok*) 连续 3 代选育群体的遗传结构*

黄天晴 徐革锋 谷 伟 王炳谦 张玉勇 郑先虎
姚作春 赵 成 鲁翠云

(中国水产科学研究院黑龙江水产研究所 哈尔滨 150070)

摘要 本研究拟利用微卫星标记分析细鳞鲑(*Brachymystax lenok*)连续 3 代选育群体的遗传结构及差异。通过筛选出的 22 对细鳞鲑微卫星引物, 利用 PCR 进行扩增后进行毛细管凝胶电泳, 利用 GeneMapper V4.1 软件进行图像收集和数据分析。在 3 代共 96 个样本中共检测到 181 个等位基因, 各标记检测的等位基因数为 2—26 个, 平均为 8.227 个; 3 代平均等位基因数(N_a)为 6.500—6.773, 平均有效等位基因数(N_e)为 3.356—3.649, 3 代间 N_a 和 N_e 差异均不显著; 3 代平均观测杂合度(H_o)为 0.462—0.530, 平均多态信息含量(PIC)为 0.459—0.525, 平均期望杂合度(H_e)为 0.494—0.566; F_2 和 F_3 的 H_o 、 H_e 、PIC 3 项遗传多样性参数均显著低于 F_1 ($P<0.05$); Hard-Weinberg 平衡检验结果表明细鳞鲑 3 代选育群体整体保持了遗传平衡状态, 但经 Bonferroni 校正后, 尚有 2 个标记在 F_1 和 F_3 极限著偏离遗传平衡($P<0.0005$), 3 个标记在 F_2 极限著偏离遗传平衡($P<0.0005$)。细鳞鲑在选育过程中通过群体选育等方法注重了对稀有等位基因的保护, 在细鳞鲑多代选育过程中保持了较高的多态性水平, 但在选育过程中某些等位基因出现了富集现象, 3 代间的遗传分化也较小, 仅 1.49% 的遗传变异来自群体间, 表明细鳞鲑群体尚具有持续选育的潜力。

关键词 细鳞鲑; 微卫星标记; 遗传结构

中图分类号 Q789 doi: 10.11693/hyz20180100022

细鳞鲑(*Brachymystax lenok*)隶属于鲑形目(Salmoniformes), 鲑科(Salmonidae), 细鳞鲑属, 在我国主要分布于东北部的黑龙江、鸭绿江、图们江、绥芬河等流域(李思忠, 1984)。细鳞鲑肉质细嫩鲜美, 必需氨基酸含量远高于鲤(*Cyprinus carpio* L.)、鲫(*Carassius auratus*)等淡水鱼类(徐革锋等, 2010), 具有较高的营养和经济价值。为了保护和利用细鳞鲑资源, 中国水产科学研究院黑龙江水产研究所从乌苏里江及牡丹江捕捉细鳞鲑亲鱼, 于 2003—2010 年连续进行了人工繁殖及养殖试验, 掌握了细鳞鲑全人工繁育技术(牟振波等, 2013), 对细鳞鲑的繁殖生理(牟振波等, 2008; 徐革锋等, 2009a)、苗种的早期发育

(李永发等, 2009; 徐革锋等, 2013)及生长生理(Liu et al, 2015; Xu et al, 2015; 徐革锋等, 2016)开展了一系列的研究, 实现了细鳞鲑规模化苗种繁育及养殖, 在此基础上开展了细鳞鲑良种的选育, 目前已经培育至 F_3 , 使其逐步成为广泛养殖的名特优品种之一。

相对而言, 细鳞鲑遗传方面的研究开展较少, 徐革锋等(2009b)分析了乌苏里江、鸭绿江和牡丹江细鳞鲑的染色体核型; 王荻等(2009)用 AFLP 标记的分析结果表明牡丹江细鳞鲑群体的多态性比例最高(67.80%), 鸭绿江群体次之(55.81%), 而乌苏里江群体最低(33.39%); 夏颖哲等(2006)和张艳萍等(2014)分别用线粒体 D-loop 区序列分析了细鳞鲑及秦岭细

* 中央级公益性科研院所基本科研业务费专项, HSY201601 号; 现代农业产业技术体系专项资金资助, CARS-46 号; 中国水产科学研究院基本科研业务费, 2018HY-ZD0302 号; 国家水产种质资源平台, 2018DKA30470 号。黄天晴, 博士, E-mail: huangtianqing@hrfri.ac.cn

通讯作者: 鲁翠云, 副研究员, E-mail: lucuiyun@hrfri.ac.cn

收稿日期: 2018-01-30, 收修改稿日期: 2018-02-23

鱥(*Brachymystax lenok tsinlingensis*)的遗传结构, 线粒体全基因组序列的比对结果显示两者98.3%的核苷酸序列相同(Si et al, 2012)。近年来, 微卫星标记(microsatellite)因其多态性高、呈现共显性遗传等特点成为研究群体遗传分化的首选标记, 但细鳞鲑的微卫星标记资源相对有限(Liu et al, 2014; Yu et al, 2014), 制约了其在细鳞鲑种质鉴定、遗传保护方面的应用。本研究从遗传标记积累较多的近缘种虹鳟(*Oncorhynchus mykiss*)的微卫星标记中, 筛选了适用于细鳞鲑遗传分析的标记, 并分析了细鳞鲑连续3代选育群体的遗传结构及差异, 以期为细鳞鲑种质资源保护以及遗传选育提供物质基础。

1 材料与方法

1.1 实验材料

细鳞鲑(*Brachymystax lenok*)群体样本均采自中国水产科学研究院黑龙江水产研究所丹东繁育基地。野生细鳞鲑于2002年采捕于乌苏里江虎头江段, 培育成熟后于2003—2010年实现了全人工繁殖(牟振波等, 2013), 并以2009年生产的苗种建立细鳞鲑F₁选育基础群体, 2011年和2014年繁殖获得F₂和F₃选育基础群体。2015年4月, 随机采集每代选育群体32尾, 其中F₁(7龄)平均体重为2415±765g, 平均体长为60.5±7.4cm; F₂(4龄)平均体重为1018±380g, 平均体长45.6±7.7cm; F₃(1龄)平均体重为139±30.6g, 平均体长为20.8±1.8cm。剪取部分鳍条组织用以提取基因组DNA(李超等, 2014)。

1.2 微卫星引物

利用GenBank数据库中检索的虹鳟微卫星引物150对分析随机4个细鳞鲑样本, 检测标记的适用性、稳定性及多态性。64对引物在细鳞鲑中获得了稳定、清晰的目的条带, 38对引物在个体间表现出多态性, 最终选择22个微卫星标记检测了全部96个样本的基因型。引物信息及在虹鳟高密度遗传图谱(Rexroad III et al, 2008)上的位置见表1。

1.3 DNA提取及PCR扩增

利用基因组DNA提取试剂盒(Axygen)提取细鳞鲑鳍条组织的基因组DNA, 经过紫外分光光度计(260/280)测定浓度和纯度后, 调整浓度至50ng/μL。采用毛细管电泳技术检测96个样本的基因型, 在正向引物的5'端标记蓝色(FAM)和绿色(HEX)荧光, 建立15μL PCR扩增反应体系, 包括1.5mmol/L MgCl₂、50mmol/L KCl、10mmol/L Tris-Cl(pH 8.3)、200μmol/L

dNTP、微卫星引物、0.3μmol/L、100ng DNA模板及1U Taq DNA聚合酶。PCR反应程序为94°C 3min; 94°C 30s, 56°C 30s, 72°C 30s, 25个循环; 72°C 5min。反应结束后, 用3730XL遗传分析仪(ABI)进行毛细管凝胶电泳, 利用GeneMapper V4.1软件进行图像收集和数据分析。

1.4 数据分析

使用软件“鱼类种质资源遗传分析装置(ZL200710144749.3)”进行数据转换, 用PopGene32(Version 1.32)软件计算每个微卫星标记的等位基因数(observed number of alleles, N_a)、等位基因频率(allele frequency, P)、有效等位基因数(effective number of alleles, N_e)、观测杂合度(observed heterozygosity, H_o)和期望杂合度(expected heterozygosity, H_e)。标记的多态性信息含量(polymorphism information content, PIC)按照Botstein等(1980)的方法计算, 公式如下:

$$PIC = 1 - \left(\sum_{i=1}^n P_i^2 \right) - \left(\sum_{i=1}^{n-1} \sum_{j=i+1}^n 2P_i^2 P_j^2 \right)$$

式中, n为某一位点上等位基因数, P_i、P_j分别为第i和第j个等位基因在群体中的频率,j=i+1。

用GenePop(Version 4.2)软件进行χ²检验估计群体Hardy-Weinberg平衡偏离。

群体的遗传分化系数(F_{st})、基因流系数(N_m)以及群体间的遗传相似性指数(I)及遗传距离(D_s)也由PopGene32软件计算, 运行PHYLIP(version 3.696)软件的Neighbor程序, 绘制群体间基于UPGMA的聚类图。

2 结果

2.1 PCR扩增结果

用随机4个细鳞鲑样本初步筛选150个虹鳟微卫星标记, 在56°C退火温度下, 64个标记扩增出清晰、稳定的目条带, 38个标记表现出不同程度的多态性。选择其中22个微卫星标记用毛细管电泳技术分析了细鳞鲑连续3代选育群体96个样本的基因型, 结果共检测到181个等位基因, 片段大小为118—355bp, 每个标记扩增到2—26个等位基因, 平均为8.227(表1), 其中16个标记(72.73%)检测到4个以上的等位基因, 检测到等位基因数(N_a)最多的标记为OMM1236, 扩增出26个等位基因; N_a最少的标记为OMM1192、OMM1263和OMM3065, 仅检测到2个等位基因。标记OMM1329在全部96个细鳞鲑样本的毛细管电泳图谱见图1。

表 1 微卫星引物序列及扩增情况
Tab.1 Sequence and amplified result of microsatellite markers

标记	GenBank 注册号	正向引物序列(5'-3')		反向引物序列(5'-3')		重复序列	片段长度 (bp)	等位基因数 (N _a)	虹鳟连锁群
		OMM1042	BV722064	GCCTGCCCTCTGCTAGTAGTC	TAGGCCACTCAGCAGTGAGGTATAG	(CTAT) ₂₁	127—238	18	12
OMM1145	AF375040	CTCCCTCGGTGAAGTAAACCT	TTCCGTTAACGGTCACTGTCGC	(GA) ₁₃	134—158	8	9		
OMM1192	AF469977	GGGCTCATGGAAAGCATTACGC	TGGCATCCACAAAGGTAGGTAGGC	(GT) ₁₅	290—300	2	12		
OMM1231	AF470011	TCCACCTGCTCTGACCTCTACTCA	GCAGCCAGAGAACAGTAAGCATGT	(CTAT) ₁₁	232—279	12	1		
OMM1236	AF470016	GGACAGATTACCGGGTGTCT	ATCGGGTTGTTAACTAGTGTGGC	(ATCT) ₁₈	240—324	26	7		
OMM1263	AF470029	CTGCATTCCAATACTCCACAG	TGGACGAACACTGGATCAG	(CA) ₂₉	261—284	2	3		
OMM1329	G73564	GGGAAGTGTTCACCATTACAACAG	CATCCAGGAACGCACCTTA	(CATC) ₇	126—240	9	8		
OMM1372	BV005159	CACTICATGATGCCGAAAGCAG	CCCCCATCATGACTCCTCTAGTT	(GA) ₁₁	217—234	4	sex		
OMM1727	BV212207	GGCCATCATCCATATCAG	GGGGAGGGCTACAAAGTC	(CAT) ₈	224—245	8	4		
OMM1762	BV212231	CCTCTAATTCACTCGGATG	CCTTGTCTGTCTAAACCC	(AG) ₂₀	147—208	13	28		
OMM3042	BV722029	ATTCAAAGGGCCTCATGCAT	TGCATGTGTTCCCTTGGAAA	(CA) ₁₈	153—159	3	11		
OMM3048	BV078106	CACAAATGAAAAGGGCAGAG	GCCTCTAAAGCAAACCATCA	(CA) ₂₄	192—203	5	7		
OMM3065	BV078105	GCCCAAACCATGACAAACACT	GGTGTTCATGCTTTGCAGACT	(GT) ₂₆	118—122	2	17		
OMM3080	BV678008	TCAGGGACATCATAGTAGGGA	TACCCACCCACA0CTGACTTAT	(GT) ₆	175—181	3	2		
OMM3081	BV678009	CCTCCCTTCTCGACCTCC	CAGCTCTCTCGCGTCTCC	(CT) ₃	196—234	5	3		
OMM3126	BV683039	AGACAGCGAGGCTTACTACTG	GTCCTCGCTACTGGCATAA	(GT) ₈	263—296	9	17		
OMM5006	CA347214	AAGGGCATCATGGTGATAACAAAGG	GGGACGATGCTTGGCTAAGA	(GA) ₉	220—239	4	27		
OMM5044	CA349174	GCCCCACATAAACACAGACGCA	GTCCGGTGGTTGAGCAGTACA	(CA) ₂₇	168—188	8	20		
OMM5106	CA348902	GGTATGATGCCTCTGAATGAACTGAT	ACCAGTTGGTGTITTAACTCATATCAGC	(CA) ₁₆	271—355	20	19		
OMM5136	BV211865	CCAGCACTTCTGTCTCATA	CTCCACAGGGCTTATTACTT	(AT) ₁₇	171—200	12	sex		
OMM5192	BX317661	CCGACGCAGACATACATAC	GGGATGGTAAGGCAGTCAGA	(CA) ₃₁	312—331	5	14		
BX076085	BX076085	AAGACAGGAGATGAAGACACCG	ATATGTCGGGGAAACATGTAGG	(GT) ₁₂	178—182	3	sex		

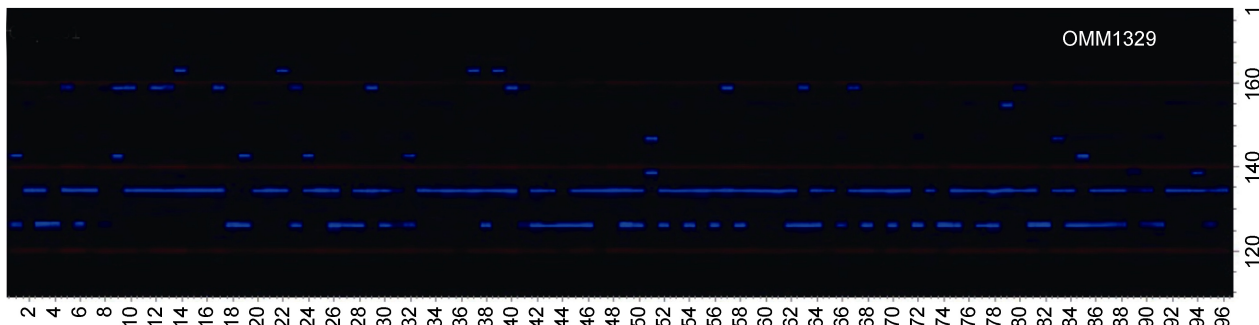


图1 细鳞鲑3代选育群体在微卫星标记OMM1329的毛细管电泳图谱

Fig.1 The capillary electrophoretogram of the three-generation breeding populations of *B. lenok* at OMM1329

注: 1—32: F₁群体; 33—64: F₂群体; 65—96: F₃群体

2.2 连续3代细鳞鲑选育群体遗传结构分析

细鳞鲑 F₁ 选育群体在 22 个微卫星标记的等位基因数(N_a)为 2—17, 平均为 6.500; 有效等位基因数(N_e)为 1.032—10.722, 平均为 3.649。F₂ 选育群体的 N_a 为 2—21, 平均为 6.773; N_e 为 1.032—12.412, 平均为 3.356。F₃ 选育群体的 N_a 为 1—17, 平均为 6.773; N_e 为 1.000—11.571, 平均为 3.624。成对样本的 T 检验结果显示 N_a 和 N_e 在细鳞鲑连续 3 代选育群体间差异不显著。细鳞鲑 F₁ 选育群体的观测杂合度(H_o)为 0.031—0.969, 平均为 0.530; 期望杂合度(H_e)为 0.031—0.921, 平均为 0.566。F₂ 选育群体的 H_o 为 0.031—0.875, 平均为 0.462; H_e 为 0.031—0.934, 平均为 0.494。F₃ 选育群体的 H_o 为 0.000—0.969, 平均为 0.474; H_e 为 0.000—0.928, 平均为 0.519。成对样本的 T 检验结果显示细鳞鲑 F₂ 和 F₃ 选育群体的 H_o 和 H_e 显著低于 F₁ 选育群体($P<0.05$), 而 F₂ 和 F₃ 差异不显著。细鳞鲑 F₁ 选育群体的多态信息含量(PIC)为 0.030—0.900, 平均为 0.525; F₂ 选育群体的 PIC 为 0.030—0.919, 平均为 0.459; F₃ 选育群体的 PIC 为 0.000—0.907, 平均为 0.481。可见, F₁ 选育群体处于高度多态水平(PIC > 0.5) (Botstein *et al*, 1980), 而 F₂ 和 F₃ 选育群体虽然保持了中度多态水平(0.25 < PIC < 0.5) (Botstein *et al*, 1980), 但是与 F₁ 相比多态信息含量已显著降低。

用 GenePop(Version 4.2)软件分析了细鳞鲑连续 3 代选育群体的 Hardy-Weinberg 遗传偏离, 结果表明细鳞鲑 3 代选育群体整体保持了遗传平衡状态(multi-loci test, $P=1$), 但经 Bonferroni 校正后, F₁ 选育群体在 OMM1762 和 OMM3048 极限著偏离遗传平衡($P<0.0005$), F₂ 选育群体在 OMM1145、OMM1329 和 OMM3048 极限著偏离遗传平衡($P<0.0005$), F₃ 选育群体在 OMM3048 和 OMM5192 极限著偏离遗传平衡($P<0.0005$)。除了 F₂ 选育群体在 OMM1329 表现为杂合子显著过剩外, 其余均表现为杂合子显著不足。详细统计数据见表 2。

2.3 连续3代细鳞鲑选育群体的遗传分化

用 PopGene32 软件计算的细鳞鲑连续 3 代选育群体间近交系数(F_{st})为 0.0053—0.0329, 平均为 0.0149, 表明 1.49% 的遗传差异来自群体间, 说明群体间遗传分化较弱。连续 3 代选育群体的基因流(N_m)为 7.3393—47.2500, 平均为 16.5748, 表明群体间有广泛的遗传交流。群体间遗传距离为 0.0219—0.0252, 遗传相似系数为 0.9751—0.9782, F₁ 与 F₂ 间遗传距离最小(0.0219), 遗传相似系数最大(0.9782); F₁ 与 F₃ 间遗传距离最大(0.0252), 遗传相似系数最小(0.9751) (表 3)。利用 UPGMA 法构建的群体遗传关系聚类图如图 2 所示。

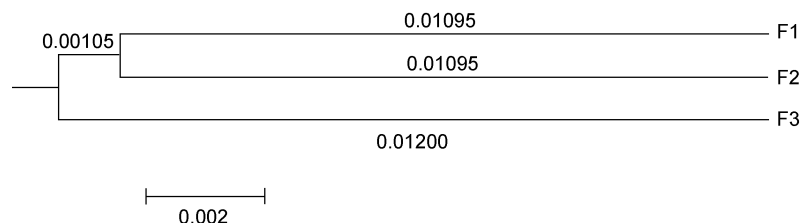


图2 依据群体间的遗传距离构建的 UPGMA 聚类图

Fig.2 The clustering of populations built by UPGMA method according to their genetic distances

表 2 细鳞鲑连续 3 代选育群体在 22 个微卫星标记的遗传多样性参数及 Hardy-Weinberg 遗传平衡分析结果
 Tab.2 Genetic diversity index and Hardy-Weinberg equilibrium analysis of 22 microsatellite markers for *B. lenok*

标记	F ₁				F ₂				F ₃			
	N _a /N _e	H _o /H _e	PI/C	P _{HWE}	N _a /N _e	H _o /H _e	PI/C	P _{HWE}	N _a /N _e	H _o /H _e	PI/C	P _{HWE}
OMM1042	14/7.699	0.875/0.884	0.858	0.419	14/8.225	0.844/0.892	0.867	0.914	14/9.102	0.969/0.904	0.880	0.040
OMM1145	7/4.947	0.594/0.810	0.771	0.011	7/4.064	0.594/0.766	0.723	0.000**	8/4.785	0.563/0.804	0.764	0.041
OMM1192	2/1.032	0.031/0.031	0.030	1.000	2/1.032	0.031/0.031	0.030	1.000	1/1.000	0.000/0.000	0.000	/
OMM1231	11/8.192	0.969/0.892	0.866	0.372	11/7.699	0.875/0.884	0.856	0.091	10/8.292	0.875/0.893	0.868	0.861
OMM1236	17/10.039	0.906/0.915	0.892	0.074	21/12.412	0.844/0.934	0.919	0.011	17/11.571	0.969/0.928	0.907	0.779
OMM1263	2/1.358	0.312/0.268	0.229	0.324	2/1.133	0.125/0.119	0.110	0.746	2/1.098	0.094/0.091	0.085	0.822
OMM1329	5/3.012	0.656/0.679	0.618	0.681	6/2.236	0.625/0.562	0.496	0.000**	8/2.513	0.625/0.612	0.531	0.999
OMM1372	3/2.042	0.281/0.518	0.444	0.003	4/2.077	0.312/0.527	0.436	0.154	4/2.301	0.406/0.574	0.483	0.368
OMM1727	6/1.907	0.438/0.483	0.446	0.994	5/1.538	0.375/0.355	0.330	0.991	7/1.665	0.406/0.406	0.382	0.999
OMM1762	9/3.287	0.531/0.707	0.657	0.000**	8/2.214	0.531/0.557	0.514	0.239	8/3.205	0.625/0.699	0.634	0.024
OMM3042	3/1.292	0.250/0.230	0.213	0.905	3/1.135	0.125/0.121	0.114	0.991	3/1.210	0.188/0.177	0.166	0.964
OMM3048	4/2.216	0.219/0.558	0.500	0.000**	5/1.853	0.250/0.468	0.436	0.000**	4/1.645	0.219/0.398	0.366	0.000**
OMM3065	2/1.358	0.312/0.268	0.229	0.324	2/1.168	0.156/0.146	0.134	0.670	2/1.064	0.062/0.062	0.059	0.898
OMM3080	3/1.415	0.344/0.298	0.265	0.744	3/1.250	0.219/0.203	0.188	0.939	3/1.336	0.188/0.256	0.237	0.059
OMM3081	3/2.359	0.562/0.585	0.486	0.831	4/2.263	0.594/0.567	0.459	0.948	5/2.392	0.469/0.591	0.504	0.830
OMM3126	7/2.872	0.594/0.662	0.621	0.446	7/3.408	0.781/0.718	0.671	0.953	8/2.589	0.531/0.624	0.578	0.760
OMM5006	4/1.527	0.406/0.351	0.320	0.929	4/1.211	0.188/0.177	0.167	0.999	4/1.253	0.156/0.205	0.194	0.142
OMM5044	8/2.829	0.656/0.657	0.622	0.834	7/2.266	0.656/0.568	0.532	0.986	8/2.609	0.688/0.626	0.583	0.999
OMM5106	17/10.722	0.938/0.921	0.900	0.888	18/9.225	0.875/0.906	0.883	0.382	16/11.130	0.844/0.925	0.903	0.043
OMM5136	1/0/6.282	0.844/0.854	0.822	0.274	11/4.339	0.656/0.782	0.745	0.727	10/5.491	0.844/0.831	0.794	0.921
OMM5192	3/1.336	0.219/0.256	0.237	0.146	2/1.098	0.094/0.091	0.085	0.822	4/1.379	0.188/0.279	0.256	0.000**
BX076085	3/2.550	0.719/0.618	0.526	0.512	3/1.994	0.406/0.506	0.402	0.382	3/2.107	0.531/0.534	0.416	0.998
均值	6.500/3.649	0.530/0.566	0.525	/	6.773/3.356	0.462/0.494	0.459	/	6.773/3.624	0.474/0.519	0.481	/

注: P_{HWE}, Hardy-Weinberg 平衡检验概率值; *, P<0.0023; **, P<0.0005

表3 群体间遗传距离(对角线上)与遗传相似度(对角线下)

Tab.3 Nei's genetic distance (above diagonal) and genetic identity (below diagonal)

群体	F ₁	F ₂	F ₃
F ₁	****	0.9782	0.9751
F ₂	0.0219	****	0.9775
F ₃	0.0252	0.0228	****

3 讨论

细鳞鲑作为我国珍稀的土著冷水性鱼类, 其自然资源量急剧下降, 在中国濒危动物红皮书中已被列为易危物种(汪松, 1998), 保护和合理开发细鳞鲑势在必行。目前, 细鳞鲑在完成规模化人工繁殖苗种的基础上, 开展了以生长和怀卵量为目标的选育, 已获得F₃苗种。维持群体的遗传多样性水平是群体持续利用的前提, 遗传多样性越高, 性状改良潜力及育种价值也就越大。本研究用22个虹鳟微卫星标记评估细鳞鲑连续3代选育群体的遗传结构, 3代平均观测杂合度(H_e)分别为0.530、0.462和0.474, 期望杂合度(H_e)平均为0.566、0.494和0.519, F₁群体的H_e和H_c均高于Jia等(2008)用13个虹鳟微卫星标记分析的乌苏里江野生细鳞鲑群体的杂合度(H_e=0.5056; H_c=0.5465), 但F₂和F₃的杂合度已显著低于野生群体。与F₁群体相比, F₂群体的H_e和H_c分别降低了12.83%和12.72%, F₃群体降低了10.57%和8.30%, 表明细鳞鲑已经受到人工选择的影响, 导致部分位点纯合子比例增加, 尤其在等位基因数较少的标记如OMM1263、OMM3065、OMM3080等。累代选育致使群体遗传多样性降低在其他鱼类也有发现, 大黄鱼F₄选育群体的H_e从F₁的0.779下降到0.532, 下降了31.71%(赵广泰等, 2010); 翘嘴鲌F₄选育群体的H_e从F₁的0.405下降到0.229, 下降了43.46%(郑荷子等, 2013), 说明鱼类在选育初期, 遗传多样性呈现较大幅度的降低, 而选育代数较多的“新吉富”罗非鱼F₁₃选育群体的H_e从F₁₀的0.5744下降到0.5256, 仅下降了8.50%(于爱清等, 2011), 也说明随着选择代数的增加, 遗传多样性趋于稳定。多态信息含量(PIC)直观反应了群体的遗传多样性水平, 细鳞鲑连续3代选育群体的PIC在0.459—0.525, 表明群体均处于中高度多态水平(PIC>0.25)(Botstein *et al.*, 1980), 尚具有一定的遗传选育潜力, 而显著降低的遗传参数也提示我们在今后的选育工作中, 应该注重维持和保护选育群体的遗传多样性, 制定合理的选育种策略,

以确保顺利进行选育工作。

遗传分化系数(F_{st})是反映群体间遗传分化程度的重要参数。Wright(1978)将群体间遗传分化程度划分为轻度(F_{st}=0—0.05)、中度(F_{st}=0.05—0.15)、较大(F_{st}=0.15—0.25)和极大(F_{st}>0.25)。本研究结果显示细鳞鲑连续3代选育群体在22个微卫星标记的F_{st}为0.0053—0.0329, 平均为0.0149, 表明群体间遗传分化较弱, 但是F₁与F₃间的遗传距离(0.0252)略远于F₁与F₂间(0.0219)。由于细鳞鲑选育代数较少, 后续累代选育群体间的遗传分化趋势尚无法预测。但在选育代数较多的罗非鱼中的研究结果显示F₀与F₈、F₉之间的F_{st}平均值(0.06840)大于F₀与F₆、F₇之间(0.05103), 而F₀与F₈、F₉之间遗传距离(0.0691和0.0722)相对于F₀与F₆、F₇之间(0.0581和0.0595)也有加大的趋势, 表明随着选育世代的增加, 后续世代与F₀的遗传距离逐代增大, 遗传相似性逐代减小, 也表明9代选育在罗非鱼世代间形成了中度的遗传分化(颉晓勇等, 2007)。鉴于此, 在人工定向选育过程中, 细鳞鱼选育群体趋于遗传纯化的趋势无法避免。因此, 在细鳞鲑的开发利用过程中, 建议采用保护与选育并举的策略, 同时建立保种和育种2个群体, 保种群体最大限度地保持细鳞鲑种质资源库的遗传多样性, 并适当补充野生资源, 在保种的同时也可补充后续育种群体遗传多样性的不足; 育种群体在进一步选育中, 保持适当比例的选择压力以便使选育群体的优良性状得到持续提高, 同时应采用分子标记辅助选育, 使与目标性状相关的位点尽快纯合固定, 而其它位点尽可能保持多态, 并适当增加每代繁育亲本的数量, 减少近交繁殖可能带来的负面影响。

4 结论

综上所述, 本研究选用虹鳟微卫星标记分析了连续3代细鳞鲑选育群体的遗传结构, 鉴定出22对可用于细鳞鲑遗传育种研究的微卫星标记, 分析结果也为细鳞鲑的持续选育、种质保护及持续利用提供参考。

参 考 文 献

- 于爱清, 李思发, 蔡完其, 2011. “新吉富”罗非鱼选育 F₁₀~F₁₃遗传变异微卫星分析. 上海海洋大学学报, 20(1): 1—7
- 王 荻, 徐革锋, 刘 洋等, 2009. 细鳞鱼三个野生种群的遗传多样性 AFLP 分析. 农业生物技术学报, 17(4): 638—644
- 牟振波, 李永发, 徐革锋等, 2013. 细鳞鱼全人工繁育技术的

- 研究. 水产学杂志, 26(1): 15—18
- 牟振波, 徐革锋, 杨双英, 2008. 细鳞鱼卵巢滤泡细胞的发育及功能. 中国水产科学, 15(1): 167—171
- 李超, 鲁翠云, 郑先虎等, 2014. 一种保存鱼类鳍条的便捷方法. 水产学杂志, 27(1): 22—24
- 李永发, 丛宇, 徐革锋等, 2009. 细鳞鱼发眼卵孵化及仔、稚鱼培育. 水产学杂志, 22(4): 34—35
- 李思忠, 1984. 中国鲑科鱼类地理分布的探讨. 动物学杂志, 19(1): 76—79
- 汪松, 1998. 中国濒危动物红皮书: 鱼类. 北京: 科学出版社, 35—37
- 张艳萍, 杜岩岩, 王太等, 2014. 秦岭细鳞鲑群体遗传结构. 生态学报, 34(17): 4950—4956
- 郑荷子, 易提林, 梁旭方等, 2013. 翘嘴鮊连续4代选育群体遗传多样性及遗传结构分析. 淡水渔业, 43(6): 8—12
- 赵广泰, 刘贤德, 王志勇等, 2010. 大黄鱼连续4代选育群体遗传多样性与遗传结构的微卫星分析. 水产学报, 34(4): 500—507
- 夏颖哲, 盛岩, 陈宜瑜, 2006. 利用线粒体DNA控制区序列分析细鳞鲑种群的遗传结构. 生物多样性, 14(1): 48—54
- 徐革锋, 叶远涛, 刘洋等, 2010. 雌雄细鳞鱼肌肉营养成分比较分析. 水产学杂志, 23(2): 29—33
- 徐革锋, 刘洋, 李永发等, 2013. 细鳞鲑早期发育过程中的消化系统发生. 中国水产科学, 20(4): 733—742
- 徐革锋, 刘洋, 郝其睿等, 2016. 不同蛋白质和脂肪水平对细鳞鲑幼鱼生长和肌肉氨基酸含量的影响. 中国水产科学, 23(6): 1311—1319
- 徐革锋, 李永发, 范兆廷等, 2009a. 细鳞鱼卵子发生过程中细胞器的形态变化与作用. 动物学杂志, 44(6): 81—88
- 徐革锋, 牟振波, 薛淑群等, 2009b. 不同流域细鳞鱼染色体遗传多态性分析. 水生生物学报, 33(5): 975—979
- 颉晓勇, 李思发, 蔡完其, 2007. 吉富品系尼罗罗非鱼选育过程中遗传变异的微卫星分析. 水产学报, 31(3): 385—390
- Botstein D, White R L, Skolnick M et al, 1980. Construction of a genetic linkage map in man using restriction fragment length polymorphisms. American Journal of Human Genetics, 32(3): 314—331
- Jia Z Y, Zhang Y Y, Shi L Y et al, 2008. Amplification of rainbow trout microsatellites in *Brachymystax lenok*. Molecular Ecology Resources, 8(6): 1520—1521
- Liu Q, Li Y, Liang H W et al, 2014. Isolation and characterization of fourteen novel microsatellite loci from *Brachymystax lenok tsinlingensi*. Journal of Genetics, 93(2): e35—e37
- Liu Y, Li Z J, Zhang T L et al, 2015. Growth and energy budget of juvenile lenok *Brachymystax lenok* in relation to ration level. Chinese Journal of Oceanology and Limnology, 33(2): 347—355
- Rexroad III C E, Palti Y, Gahr S A et al, 2008. A second generation genetic map for rainbow trout (*Oncorhynchus mykiss*). BMC Genetics, 9: 74
- Si S J, Wang Y, Xu G F et al, 2012. Complete mitochondrial genomes of two lenoks, *Brachymystax lenok* and *Brachymystax lenok tsinlingensis*. Mitochondrial DNA, 23(5): 338—340
- Wright S, 1978. Variability Within and Among Natural Populations. Chicago: The University of Chicago Press, 114
- Xu G F, Wang Y Y, Han Y et al, 2015. Growth, feed utilization and body composition of juvenile Manchurian trout, *Brachymystax lenok* (Pallas) fed different dietary protein and lipid levels. Aquaculture Nutrition, 21(3): 332—340
- Yu J N, Kim S, Lim C E, 2014. Development of 21 novel microsatellite markers for conservation genetic studies of *Brachymystax lenok tsinlingensis*, an endangered species in Korea, using next-generation sequencing. Conservation Genetics Resources, 6(1): 213—216

GENETIC STRUCTURE OF THREE CONSECUTIVE BREEDING GENERATIONS OF *BRACHYMYSTAX LENOK* REVEALED BY MICROSATELLITE MARKERS

HUANG Tian-Qing, XU Ge-Feng, GU Wei, WANG Bing-Qian, ZHANG Yu-Yong,
ZHENG Xian-Hu, YAO Zuo-Chun, ZHAO Cheng, LU Cui-Yun

(Heilongjiang River Fisheries Research Institute, Chinese Academy of Fishery Sciences, Harbin 150070, China)

Abstract *Brachymystax lenok* is a commercially important cold-water fish widely distributed throughout the eastern Siberia including portions of Kazakhstan, Mongolia, China, and Korea. Genetic structure and genetic variation in 96 individuals from three generations of the fish were studied to optimize selective breeding of the fish. Samples of the fin clip were randomly collected from F_1 , F_2 , and F_3 populations. Total DNA was extracted into the concentration of to 50ng/ μ L. Samples were amplified by 22 polymorphic microsatellite markers from rainbow trout *Oncorhynchus mykiss* labeled with FAM (blue) and HEX (green) and analyzed by capillary electrophoresis. A total of 181 alleles were detected in the fragment size of 118-355bp among the 96 individuals. The number of alleles varied from two to 26 per locus in the average of 8.227. The average number of alleles (N_a) of F_1 , F_2 , and F_3 was 6.500, 6.773, and 6.773, respectively. The average number of effect alleles (N_e) of F_1 , F_2 , and F_3 was 3.649, 3.356, and 3.624, respectively. The N_a and N_e value of the 22 markers showed no significant difference among generations. The average observed heterozygosity (H_o) and expected heterozygosity (H_e) were from 0.462 to 0.5303 and 0.494 to 0.566 among generations, respectively. The average polymorphism information content (PIC) ranged from 0.459 to 0.525. The H_o , H_e , and PIC of F_2 and F_3 were significantly lower than that of F_1 ($P<0.05$). The three populations accorded with Hard-Weinberg equilibrium checked by χ^2 test. Highly significant deviations from Hardy-Weinberg equilibrium were observed in five markers involving the F_1 (OMM1762 and OMM3048), F_2 (OMM1145, OMM1329, and OMM3048), and F_3 (OMM3048 and OMM5192) after Bonferroni correction ($P<0.0005$). These deviations were due to heterozygote deficits except of OMM1329 in F_2 population. The genetic differentiation is very weak ($F_{st}=0.0149<0.05$) with only 1.49% genetic variation between generations. The lenok kept more rare alleles in the process of breeding by population selection, the three populations of lenok were at moderate and high level genetic diversity, and several allele enriching in the selection process. Therefore, the genetic differentiation was very weak, suggesting that the species remained suitable for further selective breeding, which may provide a reference to the germplasm resource protection and continuous selection breeding.

Key words *Brachymystax lenok*; microsatellite; genetic structure